

散乱理論の共鳴状態と ハドロン物理での応用



兵藤 哲雄

東京都立大学



2022, Aug. 4th 1

目次



導入：ハドロン物理と共鳴状態



共鳴状態の記述

- 量子力学 / 散乱理論の共鳴状態

N. Moiseyev, *Non-Hermitian Quantum Mechanics*
(Cambridge University Press, Cambridge, 2011)

J.R. Taylor, *Scattering Theory* (Wiley, New York, 1972)



束縛状態から共鳴状態への遷移

- 2体束縛状態

T. Hyodo, PRC90, 055208 (2014)

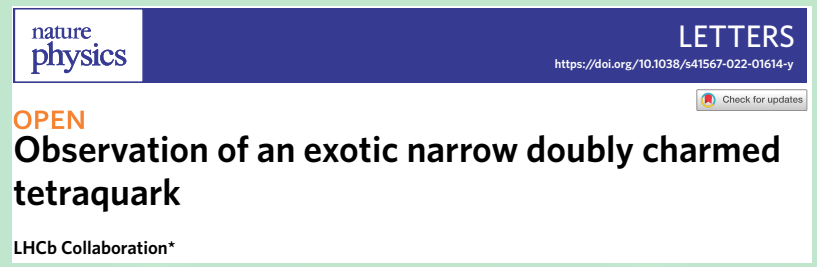
- 3体束縛状態

T. Hyodo, T. Hatsuda, Y. Nishida, PRC89, 032201 (2014)

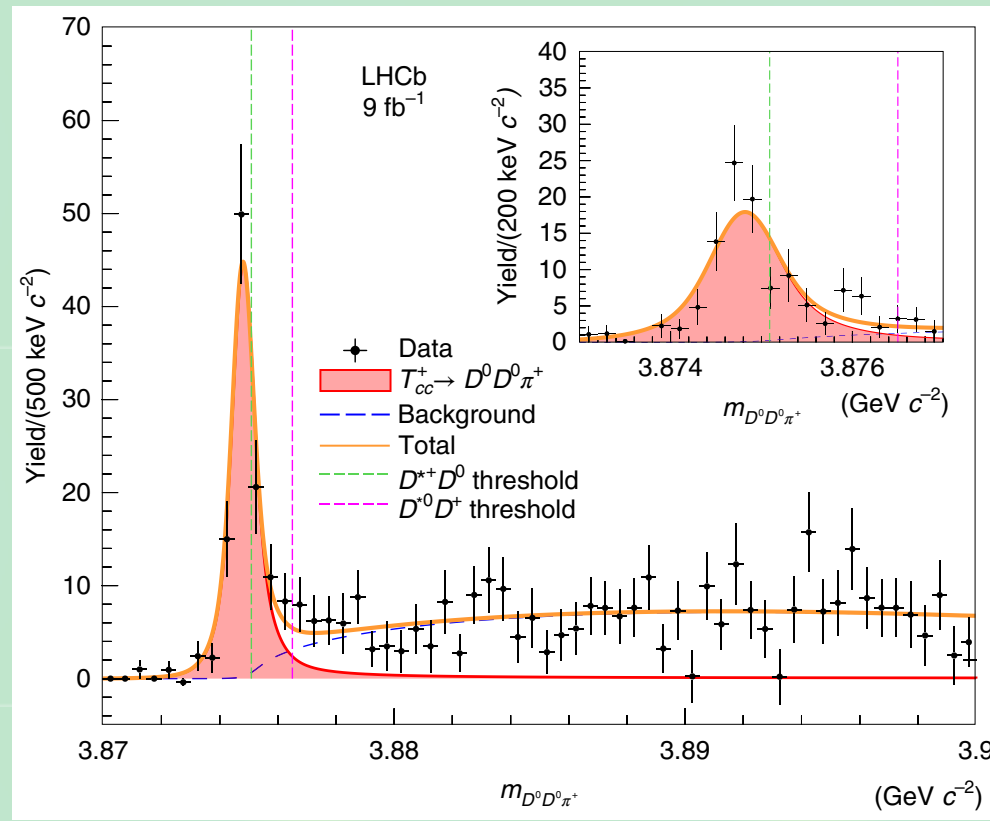
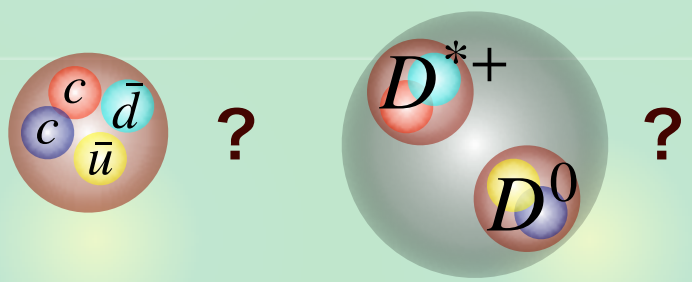
エキゾチックハドロン

テトラクォーク T_{cc} の観測

LHCb collaboration, Nature Phys. 18, 7, 751 (2022); Nature Commun. 13, 1, 3351 (2022)



- クォーク組成 $\sim cc\bar{u}\bar{d}$
- $q\bar{q}$ で構成できないメソン
- 内部構造は？



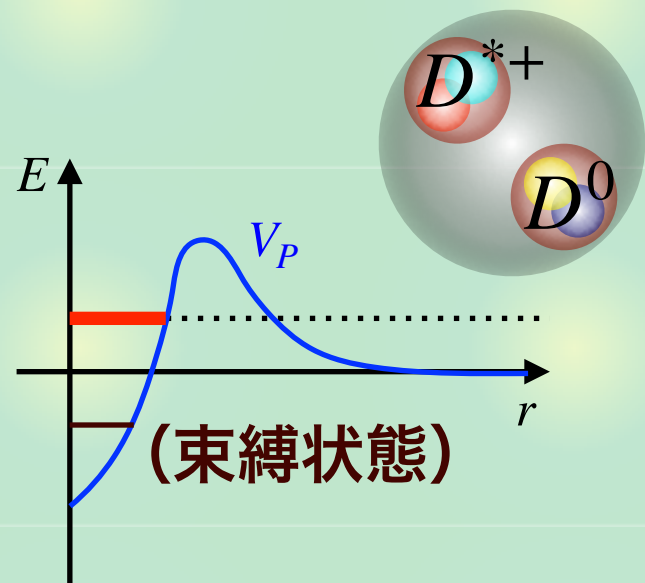
$D^0 D^0 \pi^+$ に崩壊：不安定状態の内部構造？

共鳴状態の分類

$E > 0$ の状態を実現する方法

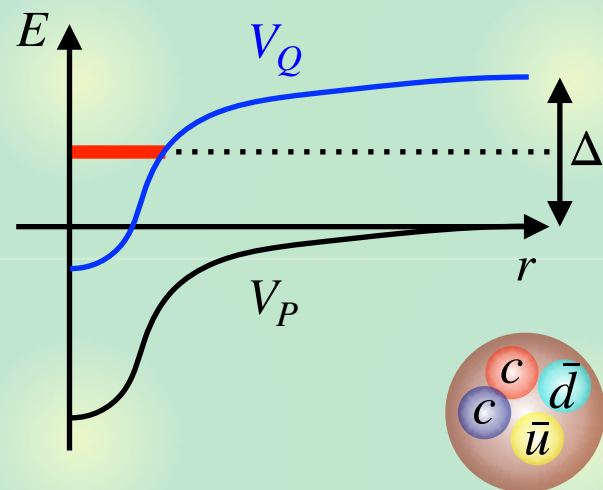
1) 形状（ポテンシャル）共鳴

- 1チャンネル問題 (P)
- ポテンシャル障壁で $E > 0$
- **トンネル効果で崩壊**



2) フェッシュバッハ共鳴

- チャンネル結合問題 ($P+Q$)
- Q の束縛状態だが $E_P > 0$
- **チャンネル遷移で崩壊**



起源が異なる両者を区別する方法？

目次

導入：ハドロン物理と共鳴状態

共鳴状態の記述

- 量子力学 / 散乱理論の共鳴状態

N. Moiseyev, *Non-Hermitian Quantum Mechanics*
(Cambridge University Press, Cambridge, 2011)

J.R. Taylor, *Scattering Theory* (Wiley, New York, 1972)

束縛状態から共鳴状態への遷移

- 2体束縛状態

T. Hyodo, PRC90, 055208 (2014)

- 3体束縛状態

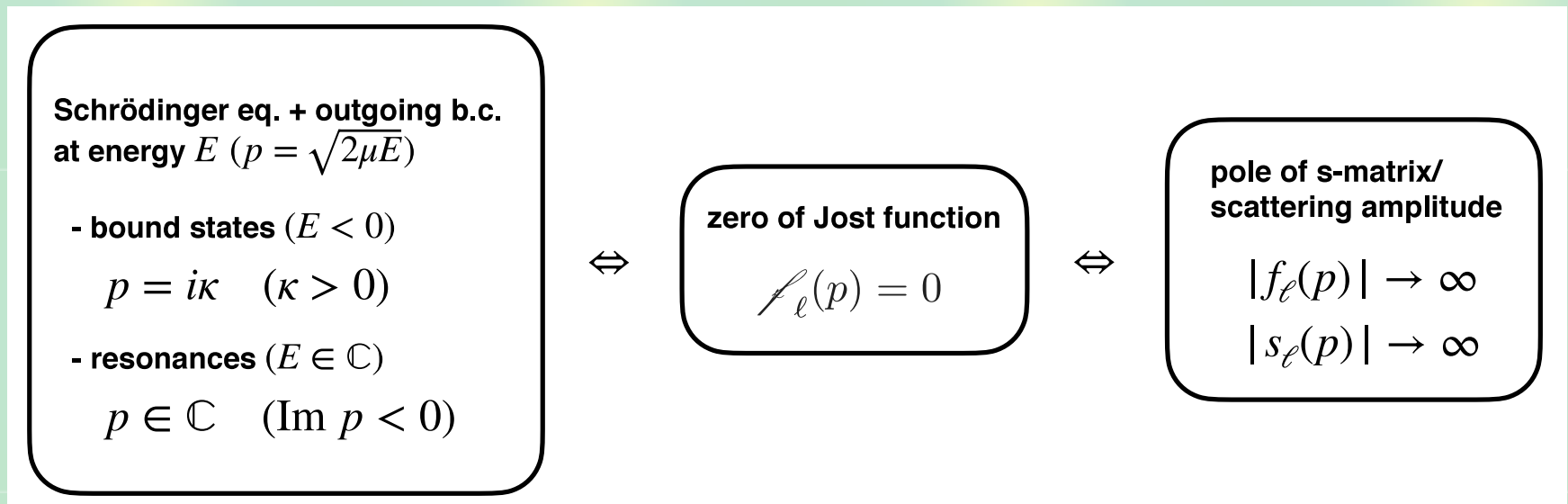
T. Hyodo, T. Hatsuda, Y. Nishida, PRC89, 032201 (2014)

共鳴状態の特徴づけ

共鳴状態の定義

1) 複素エネルギー固有状態 : $H|R\rangle = E_R|R\rangle$, $E_R \in \mathbb{C}$

2) 散乱振幅、S行列の極



T. Hyodo, M. Niiyama, Prog. Part. Nucl. Phys. 120, 103868 (2021)

- 1) と 2) はヨスト関数を介して等価
- 理論的に不定性のない定義

ガモフ理論

ハミルトニアンとしての“固有状態”としての共鳴状態

- 複素エネルギー

G. Gamow, Z. Phys. 51, 204 (1928)

Zur Quantentheorie des Atomkernes.

Von G. Gamow, z. Zt. in Göttingen.

Mit 5 Abbildungen. (Eingegangen am 2. August 1928.)

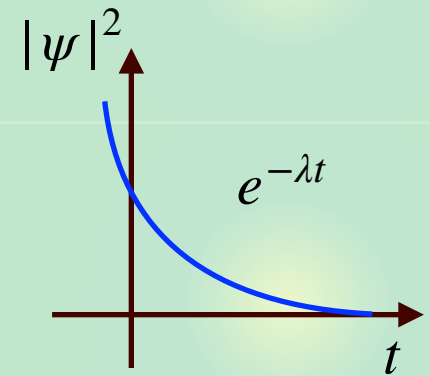
Um diese Schwierigkeit zu überwinden, müssen wir annehmen, daß die Schwingungen gedämpft sind, und E komplex setzen:

$$E = E_0 + i \frac{\hbar \lambda}{4\pi},$$

wo E_0 die gewöhnliche Energie ist und λ das Dämpfungsdekrement (Zerfallskonstante). Dann sehen wir aber aus den Relationen (2a) und (2b),

- 時間依存性：存在確率が時間とともに減少

$$\psi = \Psi(q) \cdot e^{+ \frac{2\pi i E}{\hbar} t}, \quad \propto e^{+2\pi i E_0 t / \hbar} e^{-(\lambda/2)t}, \quad |\psi|^2 \propto e^{-\lambda t}$$



エルミート演算子の固有値は実数では？

- 固有値が実数なのはヒルベルト空間（～2乗可積分な関数空間）

$$\int |\psi(\mathbf{r})|^2 d^3 r < \infty$$

- 定義域を拡張すると複素固有値を持つことができる

散乱波動関数

球対称短距離力ポテンシャル $V(r)$ のシュレディンガー方程式

$$\left[-\frac{\nabla^2}{2\mu} + V(r) \right] \psi_{\ell,m}(\mathbf{r}) = E\psi_{\ell,m}(\mathbf{r}), \quad \psi_{\ell,m}(\mathbf{r}) = \frac{u_{\ell}(r)}{r} Y_{\ell}^m(\hat{\mathbf{r}})$$

- 散乱波動関数 ($E > 0$ 、連続固有値) の $r \rightarrow \infty$ での漸近形

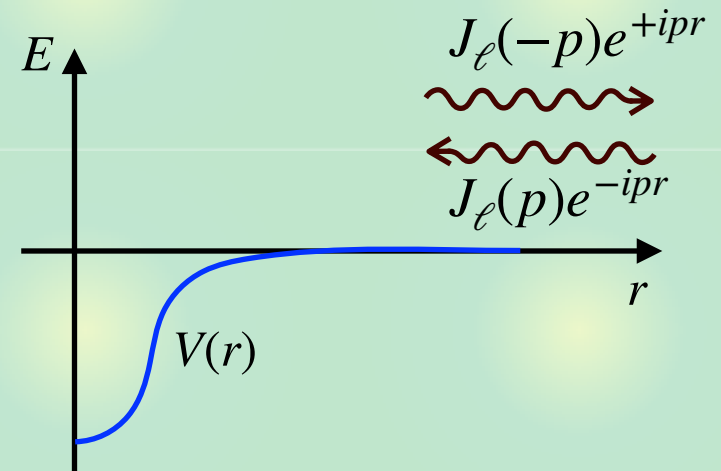
$$u_{\ell}(r;p) \xrightarrow{r \rightarrow \infty} \frac{i}{2} [J_{\ell}(p)\hat{h}_{\ell}^{-}(pr) - J_{\ell}(-p)\hat{h}_{\ell}^{+}(pr)], \quad p = \sqrt{2\mu E}$$

$$\sim \frac{i}{2} [J_{\ell}(p)e^{-ipr} - J_{\ell}(-p)e^{+ipr}]$$

内向き波 外向き波

- 内向き波の振幅：ヨスト関数

$$J_{\ell}(p) = 1 + \frac{2\mu}{p} \int_0^{\infty} dr \hat{h}_{\ell}^{+}(pr)V(r)u_{\ell}(r;p)$$



束縛状態

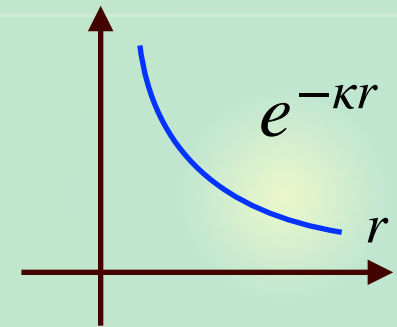
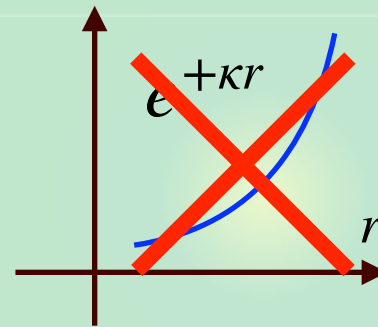
束縛解 ($E < 0$ 、離散固有値)

- 運動量 $p = \sqrt{2\mu E}$ は純虚数

$$p = i\kappa, \quad \kappa = \sqrt{2\mu|E|} > 0$$

- 波動関数の $r \rightarrow \infty$ での漸近形

$$u_\ell(r; i\kappa) \sim \frac{i}{2} [J_\ell(i\kappa)e^{+\kappa r} - J_\ell(-i\kappa)e^{-\kappa r}]$$



- 波動関数が2乗可積分：境界条件 $u(r \rightarrow \infty) = 0$

→ $J_\ell(i\kappa) = 0$ ：外向き境界条件（内向き波が消える）

物理的な散乱の運動量 p は実数

→ 束縛状態は p を純虚数に解析接続したヨスト関数のゼロ点

共鳴状態

共鳴解：運動量 p を複素数に解析接続した解

- 複素 p 平面の下半面 ($\text{Im } p < 0$) に存在

$$p = p_R - ip_I, \quad p_R, p_I > 0$$

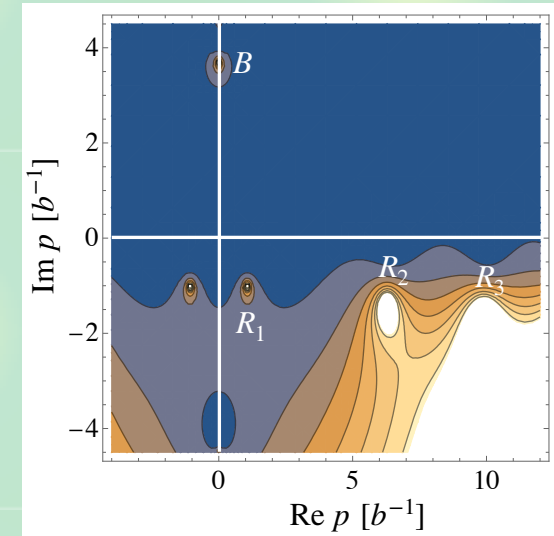
- 波動関数の振る舞い

$$u_\ell(r; p) \rightarrow -\frac{iJ_\ell(p)}{2} e^{ipr} \propto e^{ip_R r} e^{+p_I r}$$

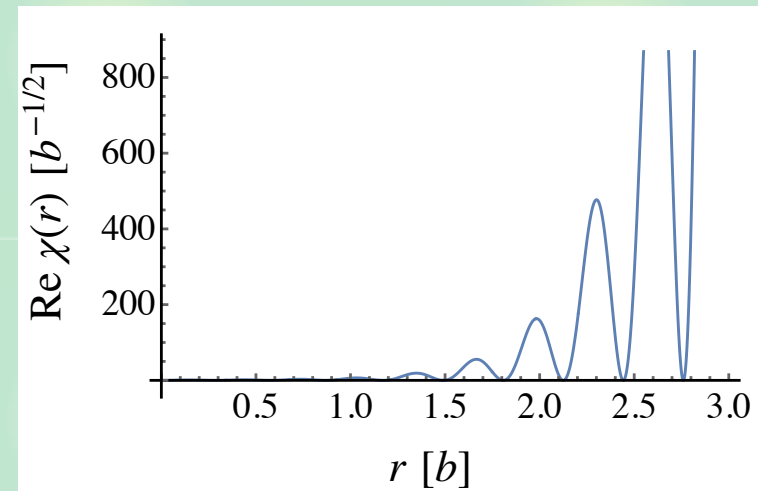
振動 増大

→ $r \rightarrow \infty$ で振動しながら発散する
通常規格化ができない

波動関数が2乗可積分でないので複素固有値が許される



引力井戸型ポテンシャルの例



散乱理論の共鳴状態

部分波 ℓ のS行列とヨスト関数

$$s_\ell(p) = \frac{J_\ell(-p)}{J_\ell(p)} \sim \text{内向き振幅で規格化した外向き振幅}$$

- 散乱無し（素通り）の場合 $s_\ell(p) = 1$

散乱振幅：正味の散乱の情報

$$f_\ell(p) = \frac{s_\ell(p) - 1}{2ip} = \frac{J_\ell(-p) - J_\ell(p)}{2ipJ_\ell(p)}$$

離散固有状態の条件：ヨスト関数の**ゼロ点** $J_\ell(p) = 0$

- p はS行列、散乱振幅の**極**

$$|s_\ell(p)| = \left| \frac{J_\ell(-p)}{J_\ell(p)} \right| \rightarrow \infty, \quad |f_\ell(p)| = \left| \frac{J_\ell(-p) - J_\ell(p)}{2ipJ_\ell(p)} \right| \rightarrow \infty$$

ここまでのまとめ



共鳴状態の特徴づけ (束縛状態の自然な拡張)

- 複素エネルギー固有状態
- 散乱振幅、S行列の極

Schrödinger eq. + outgoing b.c.
at energy E ($p = \sqrt{2\mu E}$)

- bound states ($E < 0$)

$$p = i\kappa \quad (\kappa > 0)$$

- resonances ($E \in \mathbb{C}$)

$$p \in \mathbb{C} \quad (\text{Im } p < 0)$$



zero of Jost function

$$f_\ell(p) = 0$$



pole of s-matrix/
scattering amplitude

$$|f_\ell(p)| \rightarrow \infty$$

$$|s_\ell(p)| \rightarrow \infty$$

T. Hyodo, M. Niiyama, Prog. Part. Nucl. Phys. 120, 103868 (2021)

目次



導入：ハドロン物理と共鳴状態



共鳴状態の記述

- 量子力学 / 散乱理論の共鳴状態

N. Moiseyev, *Non-Hermitian Quantum Mechanics*
(Cambridge University Press, Cambridge, 2011)

J.R. Taylor, *Scattering Theory* (Wiley, New York, 1972)



束縛状態から共鳴状態への遷移

- 2体束縛状態

T. Hyodo, PRC90, 055208 (2014)

- 3体束縛状態

T. Hyodo, T. Hatsuda, Y. Nishida, PRC89, 032201 (2014)

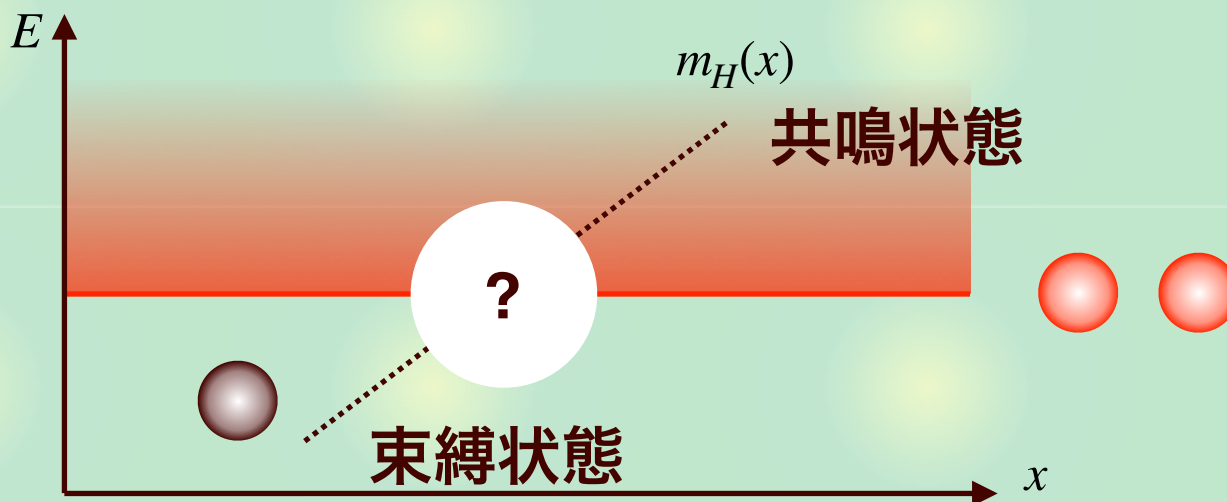
ハドロン質量スケーリング

ハドロン質量 m_H が外部パラメーター x に依存して変化

T. Hyodo, PRC90, 055208 (2014)

- クォーク質量 : $x = m_q$ (カイラル摂動論)
- カラー数 : $x = 1/N_c$ (large N_c)
- 温度、密度 : $x = T, \mu$

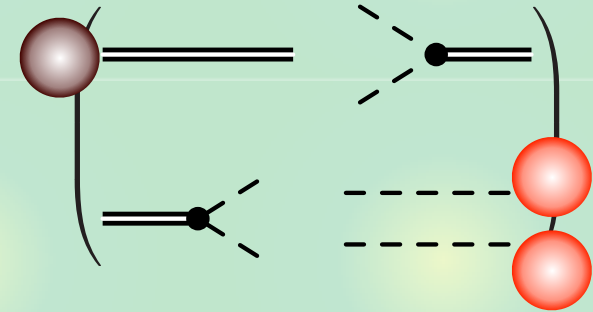
2体閾値を超えると何が起こる？



定式化

チャンネル結合ハミルトニアン（離散固有状態＋散乱状態）

$$\begin{pmatrix} M_0 & \hat{V} \\ \hat{V} & \frac{p^2}{2\mu} \end{pmatrix} |\Psi\rangle = E |\Psi\rangle, \quad |\Psi\rangle = \begin{pmatrix} c(E) |\psi_0\rangle \\ \chi_E(\mathbf{p}) |\mathbf{p}\rangle \end{pmatrix}$$



- 散乱振幅の解析解

$$f(\mathbf{p}, \mathbf{p}', E) = - \frac{4\pi^2 \mu \langle \mathbf{p} | \hat{V} | \psi_0 \rangle \langle \psi_0 | \hat{V} | \mathbf{p}' \rangle}{E - M_0 - \Sigma(E)} \sim \text{diagrammatic expansion}$$

- 自己エネルギー（ $E > 0$ で虚部を持つ）

$$\Sigma(E) = \int \frac{\langle \psi_0 | \hat{V} | \mathbf{q} \rangle \langle \mathbf{q} | \hat{V} | \psi_0 \rangle}{E - q^2/(2\mu) + i0^+} d^3q \sim \text{diagrammatic representation}$$

固有エネルギー：散乱振幅の極（自己無撞着な解）

$$E_h = M_0 + \Sigma(E_h)$$

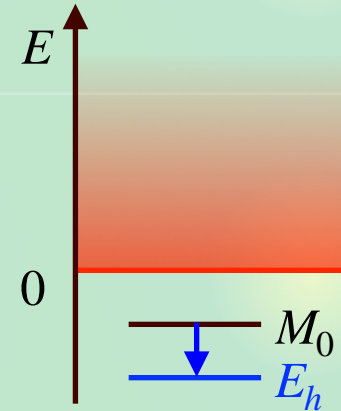
固有エネルギーの性質

結合が弱いとき：摂動展開

$$E_h = M_0 + \Sigma(M_0) = M_0 + \int \frac{|\langle \psi_0 | \hat{V} | \mathbf{q} \rangle|^2}{M_0 - q^2/(2\mu) + i0^+} d^3q$$

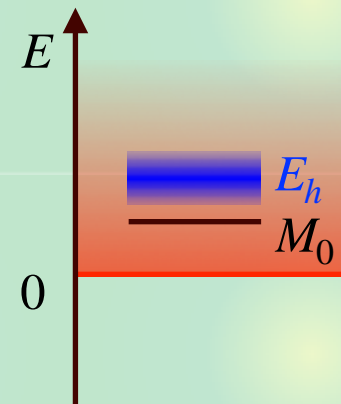
- $M_0 < 0$ の場合：基底状態に対する2次の摂動

$$\Sigma(M_0) < 0 \quad \Rightarrow \quad E_h < M_0$$



- $M_0 > 0$ の場合：崩壊により不安定、複素エネルギー

$$\Sigma(M_0) \in \mathbb{C} \quad \Rightarrow \quad E_h \in \mathbb{C}$$



閾値直上 ($E_h = 0$) に解を持つ条件

- **摂動は不可**、fullな自己無撞着の式で

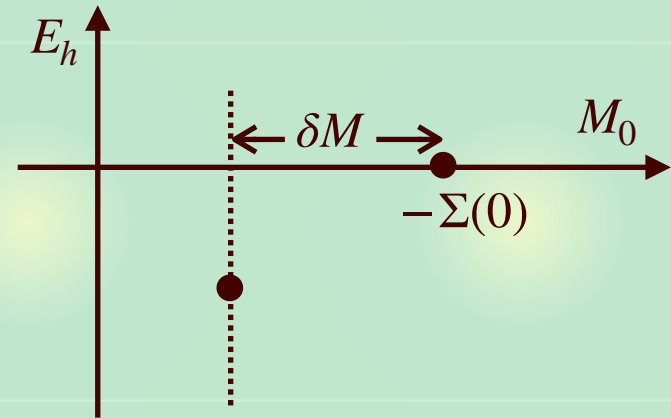
$$0 = M_0 + \Sigma(0) \quad \Rightarrow \quad M_0 = -\Sigma(0)$$

閾値近くの振る舞い

固有エネルギーが閾値を超える際の M_0 依存性

- $E_h = 0$ の $M_0 = -\Sigma(0)$ から $\delta M < 0$ ずらす

$$E_h = -\Sigma(0) + \delta M + \Sigma(E_h)$$



- δM が十分小さいとき

$$E_h = \frac{1}{1 - \Sigma'(0)} \delta M, \quad \Sigma'(E) = \frac{d\Sigma(E)}{dE}$$

- 波動関数くりこみ（離散固有状態とのoverlap）

$$Z = \frac{1}{1 - \Sigma'(E_h)} = |\langle \Psi | \psi_0 \rangle|^2$$

角運動量 $\ell = 0$ の閾値直上の状態：波動関数くりこみがゼロ

$$E_h \propto \begin{cases} \mathcal{O}(\delta M^2) & \ell = 0 \\ \delta M & \ell \neq 0 \end{cases}$$

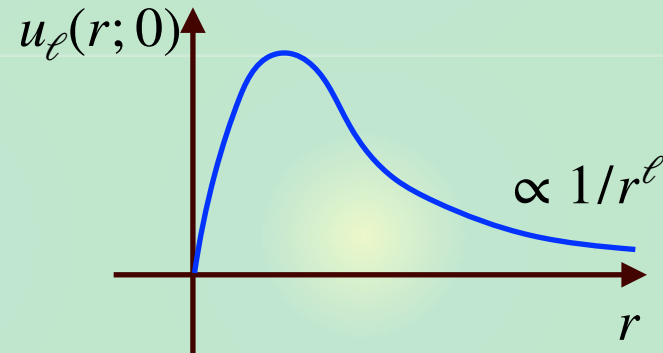
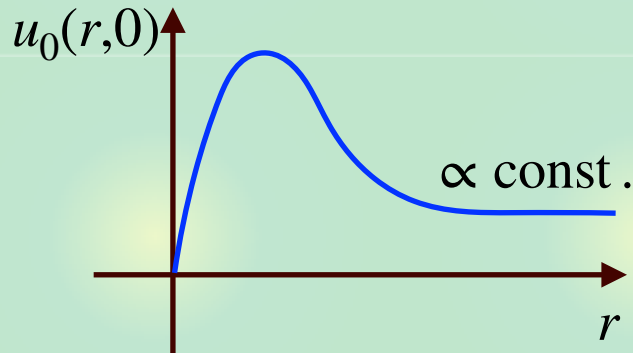
Compositeness theorem

波動関数くりこみが $Z = 0 \Leftrightarrow$ 複合性が $X = 1$

$$1 = |\langle \Psi | \psi_0 \rangle|^2 + \int d^3q |\langle \Psi | \mathbf{q} \rangle|^2$$

~~複合性~~ X

- $E_h = 0$ 状態の波動関数



→ 複合成分の重みが無限に大きく有限の $|\langle \Psi | \psi_0 \rangle|^2$ の割合が0

散乱長の発散、低エネルギー普遍性

E. Braaten, H.-W. Hammer, Phys. Rept. 428, 259 (2006);

P. Naidon, S. Endo, Rept. Prog. Phys. 80, 056001 (2017)

ヨスト関数との関係

ヨスト関数の $p = 0$ まわりでの展開

$$\begin{aligned}
 J_\ell(p) &= 1 + \alpha_\ell + \beta_\ell p^2 + \mathcal{O}(p^4) + i[\gamma_\ell p^{2\ell+1} + \mathcal{O}(p^{2\ell+3})] \\
 &= \begin{cases} 1 + \alpha_\ell + i\gamma_\ell p + \mathcal{O}(p^2) & \ell = 0 \\ 1 + \alpha_\ell + \beta_\ell p^2 + \mathcal{O}(p^3) & \ell \neq 0 \end{cases}
 \end{aligned}$$

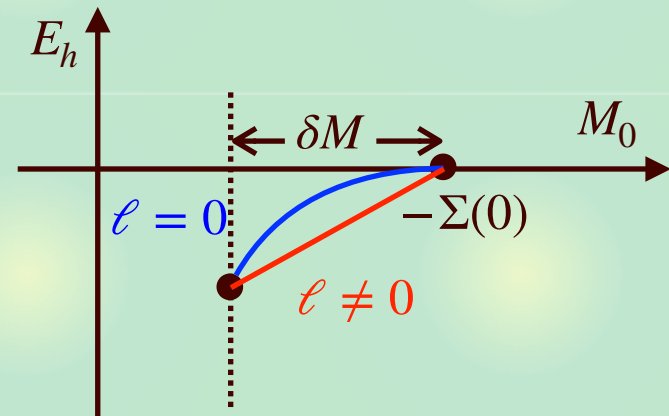
固有状態はヨスト関数のゼロ点： $J_\ell(p) = 0$

- $E_h = 0$ のためには $1 + \alpha_\ell = 0$
- $\ell = 0$ ($\ell \neq 0$) の $p = 0$ のゼロは1位のゼロ (2位のゼロ)

R.G. Newton, J. Math. Phys. 1, 319 (1960)

閾値近傍の $E_h = p^2/2\mu$ の振る舞い

$$1 + \alpha_\ell \sim \delta M \quad \Rightarrow \quad E_h \propto \begin{cases} -\delta M^2 & \ell = 0 \\ \delta M & \ell \neq 0 \end{cases}$$



一般的な閾値近傍の振る舞い

閾値近傍のスケーリング

$$- \delta M > 0$$

$$E_h \propto \begin{cases} -\delta M^2 & \ell = 0 \\ \delta M & \ell \neq 0 \end{cases}$$

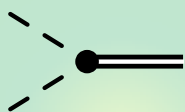
$$- \delta M < 0$$

$$E_h \propto -\delta M^2 \quad \ell = 0$$

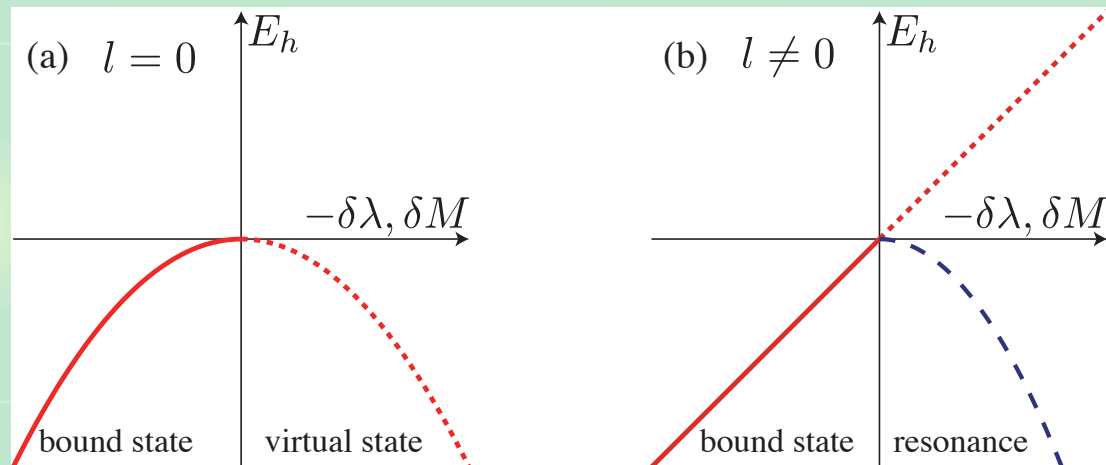
$$\text{Re } E_h \propto \delta M \quad \ell \neq 0$$

$$\text{Im } E_h \propto -\delta M^{\ell+1/2} \quad \ell \neq 0$$

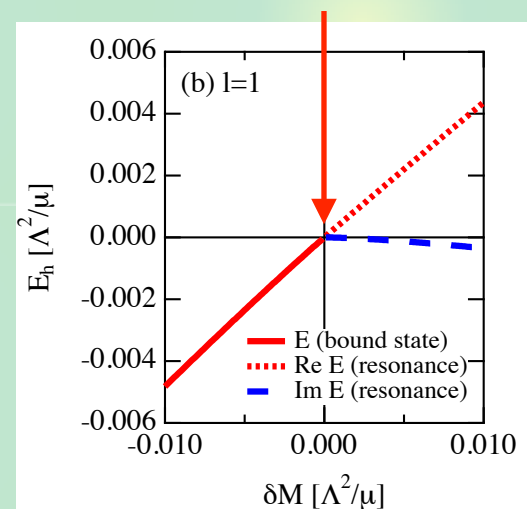
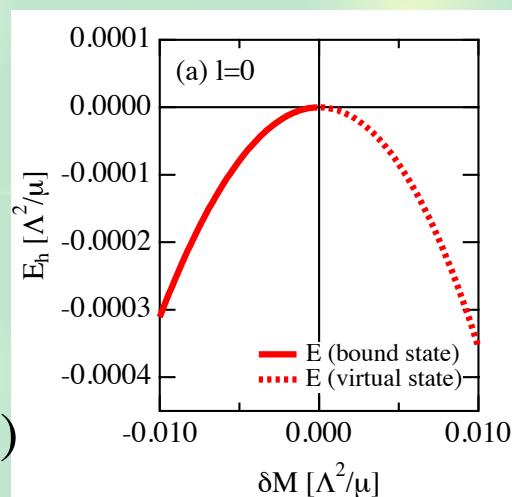
数値計算



$$\langle \mathbf{q} | \hat{V} | \psi_0 \rangle = g_\ell |\mathbf{q}|^\ell \Theta(\Lambda - |\mathbf{q}|)$$

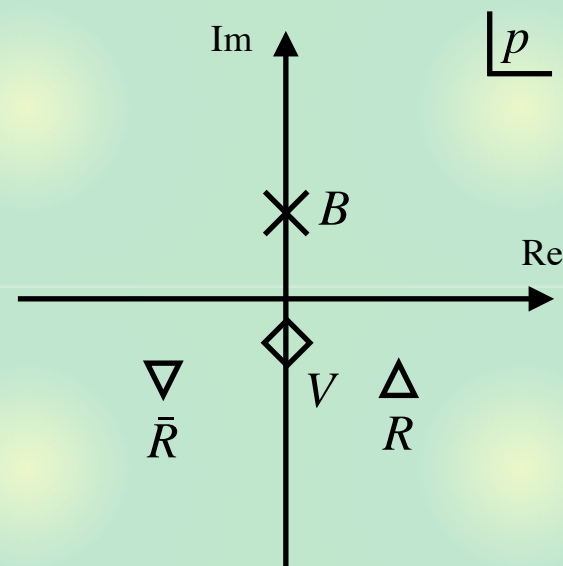
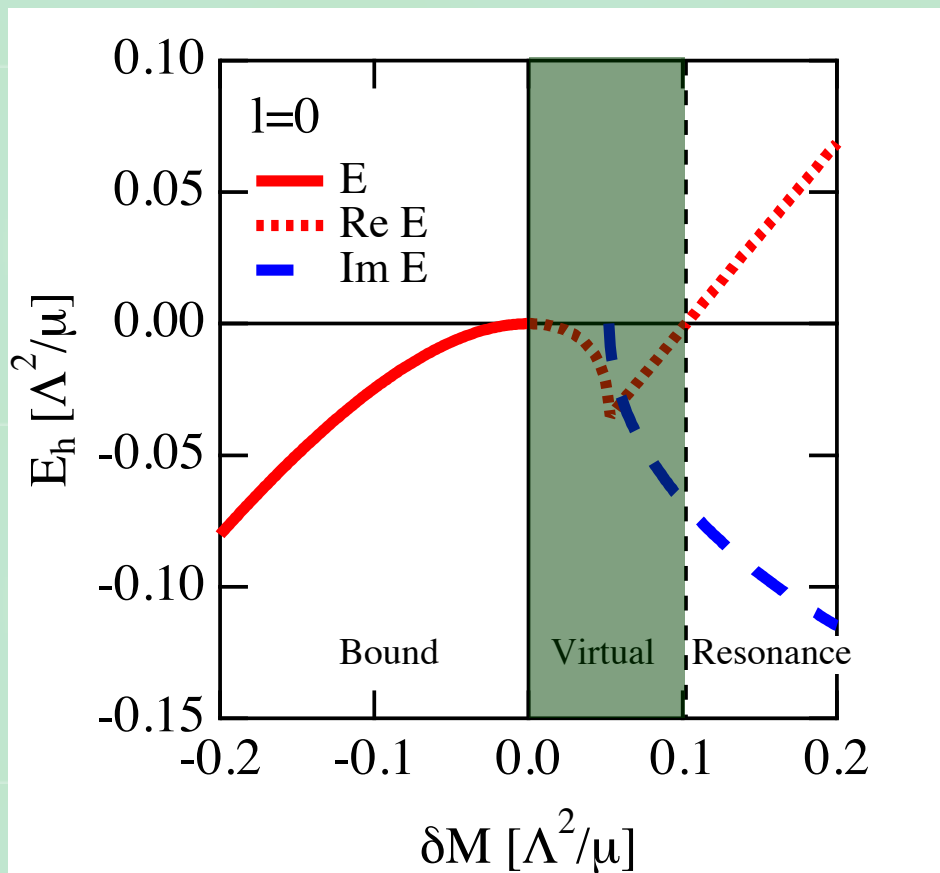


傾き : z



s波の共鳴状態

より広い δM でのスケーリング

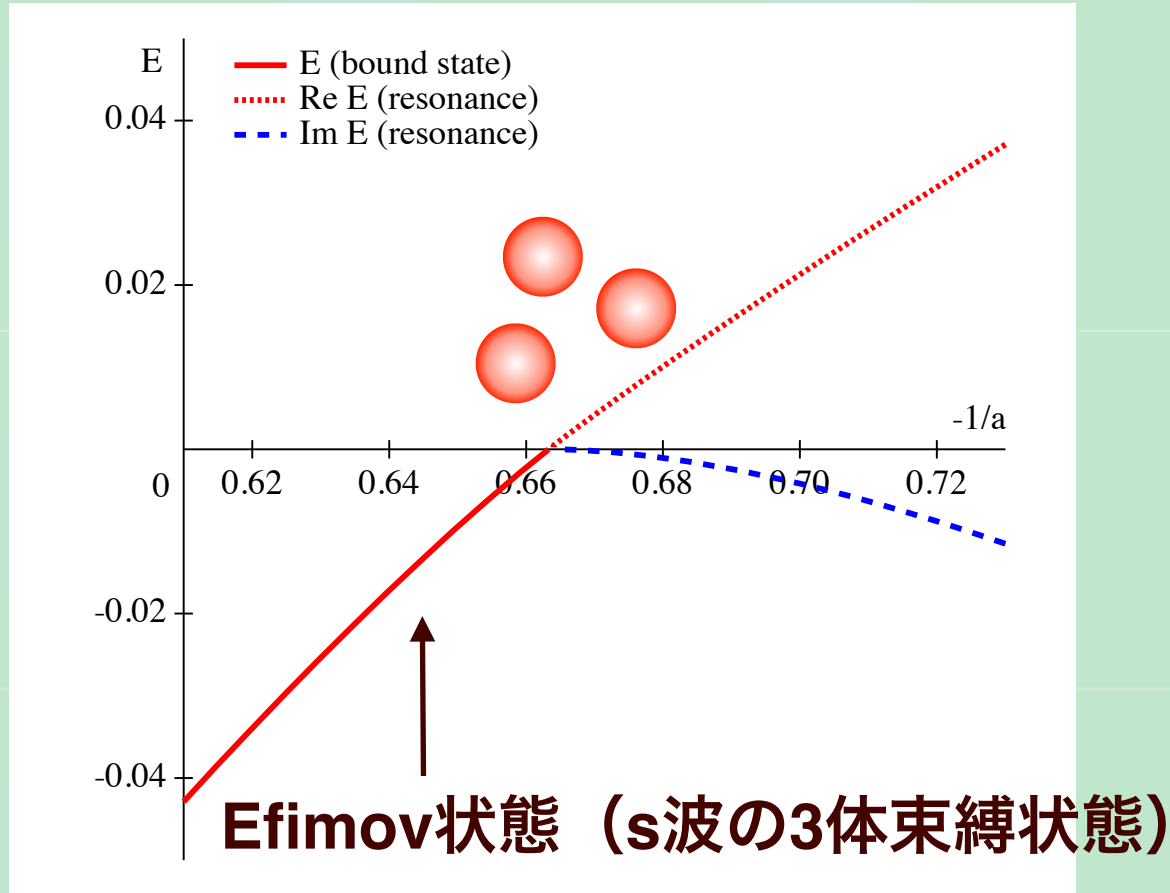


- 閾値近傍の振る舞いは単純な摂動論が破綻し非摂動的
- s波の束縛状態は直接共鳴に遷移せず、virtual状態を経由する

3体束縛状態では

s波束縛状態が3体閾値を超える場合

T. Hyodo, T. Hatsuda, Y. Nishida, PRC89, 032201 (2014)



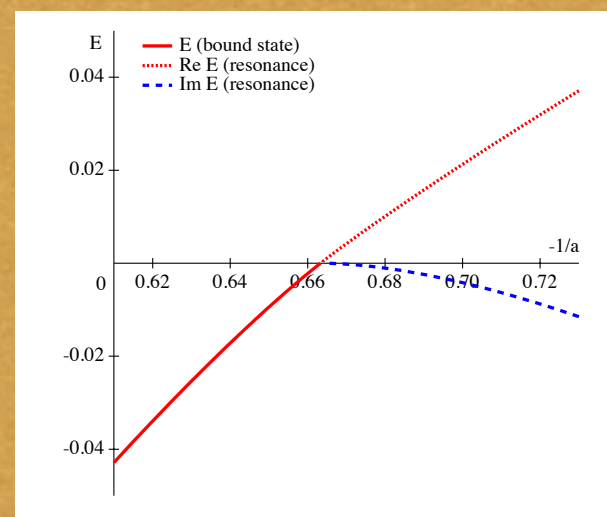
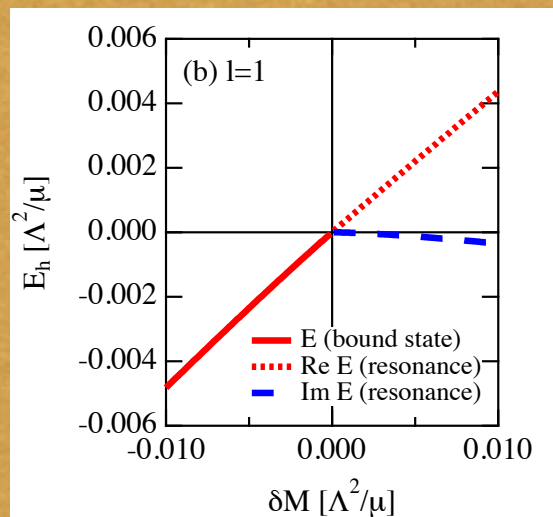
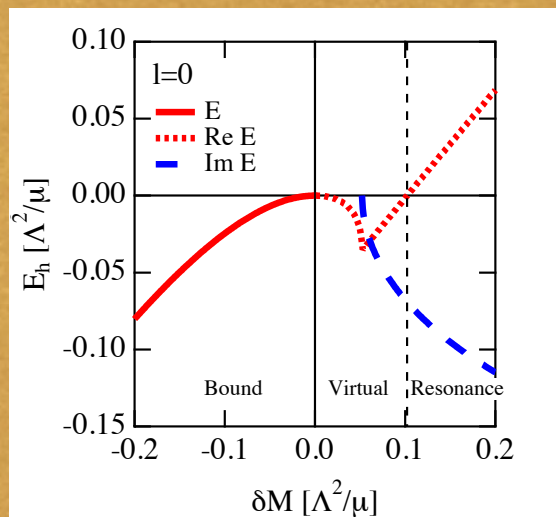
- Efimov状態は直接共鳴に遷移する

まとめ



束縛状態から共鳴状態への遷移

- s波2体系：virtual状態を經由
- s波以外の2体系：連続的に遷移
- s波3体系（Efimov状態）：連続的に遷移



T. Hyodo, PRC90, 055208 (2014);

T. Hyodo, T. Hatsuda, Y. Nishida, PRC89, 032201 (2014)